

「常陽」MK-II B型特殊燃料集合体(PFB031)の照射後試験(1)

—集合体及び燃料要素の非破壊試験—



1988年2月

技術資料コード

開示区分	レポートNo.
	PNC TN9410 88-194

この資料は 図書室保存資料です
閲覧には技術資料閲覧票が必要です

動力炉・核燃料開発事業団大洗工学センター技術管理室

動力炉・核燃料開発事業団
大洗工学センター
燃料材料開発部

複製又はこの資料の入手については、下記にお問い合わせください。

〒311-13 茨城県東茨城郡大洗町成田町4002

動力炉・核燃料開発事業団

大洗工学センター システム開発推進部・技術管理室

Enquires about copyright and reproduction should be addressed to: Technology Management Section O-arai Engineering Center, Power Reactor and Nuclear Fuel Development Corporation 4002 Narita-cho, O-arai-machi, Higashi-Ibaraki, Ibaraki-ken, 311-13, Japan

動力炉・核燃料開発事業団 (Power Reactor and Nuclear Fuel Development Corporation)

1 9 8 8 年 2 月

「常陽」MK-II B型特殊燃料集合体(PFB031)の照射後試験(1)

—集合体及び燃料要素の非破壊試験—

実施責任者 田地 弘勝 *

報告者 小泉 敦裕 * 平澤 久夫 *

要 旨

「常陽」MK-II B型特殊燃料集合体(PFB031)の健全性の確認及び照射初期の挙動を把握することを目的に照射後試験を実施した。試験は、外観検査を始めとする集合体試験、コンパートメント試験、さらにX線ラジオグラフィー等のピン試験を行った。

本集合体は、MK-II第12'（出力上昇時燃料組成変化測定試験）サイクルで照射されたものであり、その燃焼度はコンパートメント平均で約80MWd/tである。

本試験の結果は以下のとおりである。

- (1) 集合体試験、コンパートメント試験、ピン試験の結果から、本集合体の健全性を確認した。
- (2) X線ラジオグラフィーの結果から、「もんじゅ」仕様ピンに中心空孔が観察された。

* 大洗工学センター燃料材料開発部照射燃料集合体試験室(FMS)

目 次

1. まえがき	1
2. B型特殊燃料集合体(PFB 031)の概略	2
3. 照射条件	3
4. 照射後試験計画	4
5. 試験結果	5
5.1 集合体試験	5
5.1.1 外観検査	5
5.1.2 X線ラジオグラフィー	5
5.1.3 解 体	5
5.2 集合体部材試験	5
5.2.1 ラッパ管ガンマスキャン	5
5.3 コンパートメント試験	5
5.3.1 外観検査	5
5.3.2 X線ラジオグラフィー	6
5.3.3 解 体	6
5.4 ピン試験	6
5.4.1 外観検査	6
5.4.2 X線ラジオグラフィー	6
5.4.3 重量測定	6
5.4.4 ガンマスキャン	7
5.4.5 パンクチャテスト	7
5.5 モニタ類の採取	7
6. 結果の検討	8
6.1 集合体の健全性	8
6.2 照射初期の挙動	8
7. まとめ	9
8. 参考文献	10

List of Tables

Table I	Reference Table of Parts Number of Compartment	11
Table II	Fabrication Data of Fuel Pins	12
Table III	Subassembly Irradiation Conditions	13
Table IV	Pins Irradiation Conditions	14
Table V	Results of Core Fuel Stack Length Change	15
Table VI	Results of Pin Weighing	16

List of Figures

Fig. 1	Schematic Drawing of the Subassembly and its Compartment (PFB031)	17
Fig. 2	Structure of Compartment	19
Fig. 3	In-Reactor Location of the Subassembly	21
Fig. 4	History of Reactor Power	22
Fig. 5	Flow Diagram of Postirradiation Examination of the Sub-assembly (PFB031)	23
Fig. 6	Pins Selected for the Examination	24
Fig. 7	Radial Distribution of Gamma Ray Intensity (^{58}Co , 0.811MeV) .	25
Fig. 8	Axial Distribution of Gamma Ray Intensity (Pin No. A602)....	26
Fig. 9	Gamma-Ray Spectroscopy	27
Fig. 10	Specimen Holders in Compartments	28

List of Photographs

Photo. 1	Surface Condition of the Subassembly	29
Photo. 2	Surface Condition of the Wrapper Tube	31
Photo. 3	X-ray Radiography of the Subassembly	33
Photo. 4	Condition of the Outer Surface of the Compartment and Installation Condition of the Contents in Compartment	35
Photo. 5	Installation Condition of the Fuel Pin Bundle and the Content of Fuel Pins in Compartment	37
Photo. 6	Specimen Holder without Cap and one with Cap	39

1. まえがき

照射燃料集合体試験室（以下FMSという）では、現在までにB型特殊燃料集合体4体について照射後試験を実施してきた^{1)～4)}。今回受入れたB型特殊燃料集合体「PFB 031」は、出力上昇時の新燃料の組織変化を測定し、「もんじゅ」出力上昇時燃料温度評価コードであるDIRADコードを検証するために照射されたものである⁵⁾。また、CMIR試験の温度評価精度を向上させるため、ステンレス鋼の γ 発熱検定用データを得ることも照射試験の目的である⁶⁾。

FMSでの照射後試験の目的は、高出力上昇速度（0.4%/min）下における燃料ピンの健全性を確認すること、及び照射初期の挙動を把握することである。

2. B型特殊燃料集合体(PFB031)の概略

B型特殊燃料集合体(PFB031)は、Fig.1に示すようにハンドリングヘッド、ラッパ管、エンタランスノズル、軸心管、コンパートメント及びコンパートメント支持機構等から構成されている。軸心管は正六角形断面のラッパ管の中央に配置され、コンパートメントがこの軸心管のまわりに等間隔に6体配置されている。そのうち2体のコンパートメントには燃料ピンが装荷され、4体のコンパートメントには γ 発熱検定用のTED温度モニタのホルダが装填されている。各コンパートメント内の装荷状況をTable Iに示す⁷⁾。

コンパートメントNo.211はB2Mの予備用コンパートメントであり、「もんじゅ」仕様のB3M用のピン5本が装荷されている。コンパートメントNo.011はB0Jの予備用コンパートメントであり、「常陽」仕様のB0Jの予備ピン2本、B1Jの予備ピン1本が、感度校正用集合体用ダミーピン1本、FFDL試験用集合体用ダミーピン1本とともに装荷されている。各ピンの製造時データをTable IIに示す^{8),9)}。計装用コンパートメントNo.C21, C22, C23, C24の4体は、CMIR-2用のコンパートメントであり、TED温度モニタを収納したホルダ7個が各コンパートメント軸方向に装填されている。Fig.2に計装用コンパートメントの構造を示す。なお、その他の集合体部材は、B3Mの予備用のものである。

3. 照射条件

B型特殊燃料集合体（PFB 031）は、昭和61年11月7日に「常陽」MK-II炉心内ラック位置（R-23）に装荷された。その後同年11月8日にラッパ管のE面が炉心中心に向く方向で炉心装荷位置1A1に装荷され、同年11月13日及び14日の第12'（出力上昇時燃料組成変化測定試験（MPR））サイクルの間照射された。その後同年11月18日にラック位置（R-18）へ移送され、同年12月11日に炉外へ取り出された¹⁰⁾。Fig. 3に第12'サイクルの炉心構成と「PFB 031」の装荷位置を示す¹¹⁾。

第12'サイクルでは、原子炉熱出力は、50 MWまで通常の出力上昇速度（約0.1%/min）で上昇され、50 MWから100 MWまでは2.1 hrにわたり0.4%/minで上昇された。その後、100 MWで3.05 hr出力が保持された。停止操作では、50 MWまでは制御棒が連続的に挿入され、その後通常の出力低下速度に戻された。原子炉熱出力の履歴をFig. 4に示す。

「PFB 031」の到達燃焼度はコンパートメント平均で約80 MWd/t、最大中性子照射量は約 $1 \times 10^{20} n/cm^2$ ($E \geq 0.1 MeV$)である。Table IIIに集合体の照射条件を、Table IVにピンの照射条件を示す¹²⁾。

4. 照射後試験計画

B型特殊燃料集合体（PFB 031）は、第12'サイクル終了後炉心より取り出され、燃料貯蔵ラックで冷却された後、昭和61年12月24日にキャスクにて照射燃料集合体試験施設（FMF）に搬入された。なお、搬入時に缶内水の分析を実施したが、異常と思われるF.P.核種は認められず、 α 放射能濃度は検出限界以下であった。

試験項目及び着目点は、以下のとおりである。

1) 集合体試験

- ① 外観検査 表面状況の観察
外形形状変化の有無確認
- ② X線ラジオグラフィー コンパートメント装荷状況の確認
- ③ 解体 H/H ロックナット緩めトルクの測定
コンパートメント引抜力の測定

2) 集合体部材試験

- ① ラッパ管ガンマスキャン 炉心方向の推定

3) コンパートメント試験

- ① 外観検査 表面状況の観察
外形形状変化の有無確認
- ② X線ラジオグラフィー ピン束、モニタ類の装荷状況の確認
- ③ 解体 上部キャップ緩めトルクの測定
ピン束引抜力の測定

4) ピン試験

- ① 外観検査 表面状況の観察
外形形状変化の有無確認
- ② X線ラジオグラフィー ピン内部状況の確認
- ③ 重量測定 重量変化の有無確認
- ④ ガンマスキャン 軸方向及び径方向のF.P.分布の確認
- ⑤ パンクチャテスト ピン内圧、ガス組成及びガス放出率の測定

試験後、6本のピンについて試料採取を行った。その後、金相試験等のために、切断試料を技術開発室（ADS）及び照射燃料試験室（AGS）に搬出した。また、TED温度モニタのホルダ、ドシメータを照射材料試験室（MMS）に搬出した。

PIEのフローをFig. 5に示す。また、ピン試験をFig. 6に示す。

5. 試験結果

5.1 集合体試験

5.1.1 外観検査

外観写真を Photo. 1 に示す。

(1) 形状変化

目視観察上は、外形形状に変化は認められなかった。

(2) 表面状況

B, D, F 面の稜付近に軸方向の傷が観られた。B 面の傷を Photo. 2 に示す。その他には特異な傷、変色等は認められなかった。

5.1.2 X線ラジオグラフィー

集合体内部への異物の混入、コンパートメント装荷状況の異常、その他集合体構成部材の配置の異常等は観察されなかった。

X線写真を Photo. 3 に示す。

5.1.3 解体

比較的容易に解体が実施できた。ロックナット緩めトルクは 50 kg.cm であり、ハンドリングヘッドの正味引抜力は 6 kg、コンパートメント引抜力は最大 1.0 kg であった。また、ロックナット解除後にロックピンが格子内に入ったままであった。

5.2 集合体部材試験

5.2.1 ラッパ管ガンマスキャン

コンパートメント取り出し後の集合体からラッパ管試料を切り出し、周方向の γ 線強度分布をアスキャニング装置で測定した。得られた結果から最大の周方向強度分布を示す方向を求めた結果、実験炉部側で推定した炉心推定方向とほぼ一致した。Fig. 7 に ^{58}Co の周方向強度分布を示す。図より、最大強度方向は約 46°（ラッパ管 E 面側）であり、径方向ピーキング係数は 1.070 であった。

5.3 コンパートメント試験

5.3.1 外観検査

全コンパートメントに、縦方向の浅い傷や黒変色が観察されたが、腐食、変形等は観られなかった。また、ブラックスモニタ管にも異常は観られなかった。Photo. 4 にコンパートメン

トNo.A6C1の0°方向の外観写真を示す。

5.3.2 X線ラジオグラフィー

コンパートメント全数及びブラックスマニタ管の計7本について、X線写真を撮影した。

Photo.4に内容物の装荷状況を示すが、いずれも正規の配列であり、コンパートメント構造物の設計の妥当性が確認された。

5.3.3 解体

ピンの挿入されているコンパートメントNo.A6C1, A6C4について解体を行った。この際、キャップネジ部は、MSマニプレータにより容易に緩めることができた。また、コンパートメントからのピン束の引抜力は最大0.5kgであり、ほぼ自重で引き抜くことができた。

5.4 ピン試験

5.4.1 外観検査

タイロッドに装荷された状態で、燃料ピンの目視観察及び写真撮影を実施した。Photo.5にコンパートメント内に装荷されていたピン束の外観写真を示す。ピン表面には、縦方向の浅い傷が観られ、黒変色の観察されたピンもあったが、全ピンとも変形、曲りは観察されなかった。なお、ラッピングワイヤのゆるみは観られなかった。

5.4.2 X線ラジオグラフィー

全ピンのX線写真を撮影した。Photo.5にこの写真を示す。

中心空孔が「もんじゅ」仕様のA601～A605ピンの炉心中央部に観察された。TableVに、燃料スタック長の測定結果を示す。燃料スタック長変化は-0.8～0.9mm程度であった。

また、燃料ピン全ピンにスプリング長の減少(へたり)がみられたが、「もんじゅ」仕様のA601～A605ピンについては数mmの減少がみられ、「常陽」仕様のピンよりも減少量は大きかった。

これは、「もんじゅ」仕様ピンと「常陽」仕様ピンでプレナムスプリングの構造が異なるためと考えられる。

その他1mm以上のペレット間ギャップもみられず、内部状況に異常は認められなかった。

5.4.3 重量測定

燃料ピン全ピンの照射前後の重量変化は、-0.2～0.0gの範囲にあり、有意差($\pm 0.4\text{ g}$)を超えるものはなかった。測定結果をTableVIに示す。

5.4.4 ガンマスキャン

A602 ピンの軸方向スキャンを実施した。軸方向 F.P. 核種及び放射化核種の計数率分布を測定した結果を Fig. 8 に示す。F.P. 核種の分布に異常は認められず、燃料が健全に燃焼したことが推定される。また、¹³⁷Cs についても軸方向への顕著な移動は認められない。

¹⁰⁶Rh, ⁹⁵Zr, Gross - γ による軸方向ピーキング係数は、それぞれ 1.14, 1.16, 1.15 であり、「MAGI」による計算結果 1.166 と大体一致する。

また、軸方向位置 710 mm でのスペクトル測定結果を Fig. 9 に示す。この図で、通常は認められる¹³⁴Cs が認められないが、これは燃焼度が低いため二次核反応 (¹³³Xe -¹³³Cs(n, γ) ¹³⁴Cs) 生成核種である¹³⁴Cs の生成量が少ないと考えられる。

A602 ピンについては、横断面 F.P. 核種及び放射化核種分布の測定も実施したが、生成量が少ないと鮮明な画像が得られず、中心空孔の有無は判断できなかった。

5.4.5 パンクチャテスト

A602 ピンについてピン内ガス圧測定及びガス分析を実施した。測定結果は、ピン内容積 18.3 cc, ピン内ガス圧 781 Torr - STP, ピン内ガス量 18.9 cc - STP であった。また、ガス分析では Kr は検出されず、Xe は 6.40 % 検出された。A602 ピンにはタグガスキャップセルが装荷されていることから、タグガスがピン内に拡散した時のピン内ガス圧を計算により求めると、PIE により測定したピン内ガス圧とほぼ等しい。よって、本装置の検出感度以下のガス放出であると推定される。

5.5 モニタ類の採取

(1) TED 温度モニタホルダ

計装用コンパートメント 4 体から、TED 温度モニタのホルダ計 28 個を取り出した。ホルダの ID と装荷位置を Fig. 10 に示す。また、C-24-6 のホルダにはキャップが付いていなかった。これを Photo. 6 にキャップのあるホルダと並べて示す。

(2) エントランスノズル部ドシメータ

モニタ（刻印No.DS31）は問題なく取り出すことができ、外観上も特に異常は認められなかった。

(3) フラックスモニタ管内モニタ類

ブラックモニタ管より、温度モニタ、スペーサ、ドシメータ、タグガスキャップセルを取り出した。装荷位置は、製造時の検査記録と一致していた。一部のモニタに黒色の変色が認められたが、その他特異な傷等は認められなかった。ドシメータ（刻印No.D 231）、タグガスキャップセル（刻印No.8）以外は、廃棄した。

6. 結果の検討

6.1 集合体の健全性

集合体に関しては、一部に傷も観察されたが変形、破損等は認められず、外観は良好であった。コンパートメントに関しても、縦方向の浅い傷や黒変色は観察されたが、変形、破損等外観上異常は観られなかった。また、装荷状況も正常であった。

また、集合体搬入時の缶内水分析結果で異常の認められなかったこと、及びピン重量測定で有意な重量変化のなかったことから、燃料ピンの健全性が確認された。

燃料ピンの内部状況についても、X線ラジオグラフィーの結果その内部配列に異常は認められなかった。

燃料ピンの燃焼については、ガンマスキャンの結果から燃料の出力分布を示す⁹⁵Zr等が炉心燃料部の軸方向に連続的なカーブを描いていることから、炉内での健全な燃焼が推定される。

これらのことから、B型特殊燃料集合体(PFB 031)は炉内で健全な状態であったことが確認された。

6.2 照射初期の挙動

X線ラジオグラフィーの結果から、「もんじゅ」仕様のピンに中心空孔が観察された。「PFB 031」は、わずか2日にわたる照射期間であるが、中心空孔が観察されたのは線出力が約390W/cmと大きく、燃料中心温度が約2160°Cと高いためである。一方、CEDARコードによれば「常陽」仕様のピンにも100MW到達3時間め頃から中心空孔が生じ始める¹¹⁾とされているが、X線ラジオグラフィーでは観察されなかった。

また、燃料スタック長の測定では、Table Vのスタック長の変化量をペレットロット別に整理すると、ロットNo.TBM-11が0~0.9mm、TBM-12が-0.8mm、TBJ-003が0.2~0.3mmとなりロットにより差があるように見受けられる。また、ロットNo.TBM-11の中でみると、被覆管-ペレットギャップが大きいほどスタック長変化量が大きい。この理由としてはギャップ幅が燃料温度に影響し、温度の違いが燃料組織変化(焼きしまり等)に差を生じさせたことが考えられる。

7. ま と め

「常陽」MK-II第12'（出力上昇時燃料組成変化測定試験）サイクルで照射されたB型特殊燃料集合体（PFB 031）の照射後試験を実施した。2日間にわたり照射されたもので、その燃焼度はコンパートメント平均で約80MWd/tである。

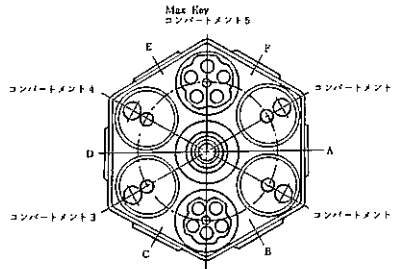
本試験の結果は以下のとおりである。

- (1) 集合体試験、コンパートメント試験、ピン試験の結果から、本集合体の健全性を確認した。
- (2) X線ラジオグラフィーの結果から、「もんじゅ」仕様のピンに中心空孔が観察された。

8. 参考文献

- 1) 浅賀他：「常陽」MK-II B型特殊燃料集合体（Fab. No. PFB 000）の照射後試験(1)
PNC I941 85 - 01, 1985年1月
- 2) 浅賀他：「常陽」MK-II B型特殊燃料集合体（PFB 010）の照射後試験(1)
PNC I9410 86 - 011, 1986年2月
- 3) 小泉他：FFDL 炉内試験用集合体（F1B；PFB 011）の照射後試験(1)
PNC I9410 86 - 016, 1986年8月
- 4) 小泉他：「常陽」MK-II B型特殊燃料集合体（PFB 020）の照射後試験(1)
印刷予定
- 5) MK-II 第2次照射計画策定WG：「常陽」MK-II 利用燃料照射試験計画－第2次照射試験計画案－
PNC I2410 86 - 003, 1986年2月
- 6) MK-II 第2次照射計画策定WG：「常陽」MK-II 炉心材料照射計画（案）－ 炉心材料照射用反射体 CMIR - 1, 2, 3, 4 -
PNC I9080 86 - 001, 1986年10月
- 7) 実験炉部：B4M TED の製造データ・照射データ
照射後試験関連データ支給票 61-JY支-72
- 8) 東海事業所：高速実験炉「常陽」照射用炉心特殊燃料要素 II型照射用 B型特殊燃料要素の
製造報告
PNC ZN843 - 84 - 05, 1984年4月
- 9) 東海事業所：「常陽」照射用炉心特殊燃料集合体 B0J, B1J の製造報告書
PNC SN841 - 82 - 72, 1982年12月
- 10) 実験炉部：「常陽」払出し燃料等の添付データ
JF - 61 - 09
- 11) 実験炉部：「常陽」照射試験サイクル報（第13サイクル）
PNC SN9360 87 - 001, 1987年12月
- 12) 実験炉部：B4M及びINTAの照射情報（その2）
照射後試験関連データ支給票 62-JY支-24

Table I Reference Table of Parts Number of Comprtment

集合体番号	PFB 031M*9	コンパートメント		上部キャップ番号	温度モニタ番号	ピントタイロッド番号	燃料要素		試料ホルダ番号				T E D番号			
		位置	番号(Fab PIE)				位置	番号	1	C-21-1	6	C-21-6	1	Y-36	6	Y-41
ラッパ管番号	1005*9		C21*6 (A6C3)	C21*6	—	C21*6	—	—	1	C-21-1	6	C-21-6	1	Y-36	6	Y-41
ハンドリングヘッド番号	1008*9								2	C-21-2	7	C-21-7	2	Y-37	7	Y-42
エントランスノズル番号	1008*9								3	C-21-3			3	Y-38		
ロックナット番号	—								4	C-21-4			4	Y-39		
ブラックスモニタ番号	9*9								5	C-21-5			5	Y-40		
									1	F 2062*1						
		011*7 (A6C4)	7*7	—	7*7	—	—	F 2062*1 B0J02*2 B0J04*2 B1J25*3 F 1328*4	—				—			
									2	B0J02*2						
									3	B0J04*2						
									4	B1J25*3						
									5	F 1328*4						
		C22*6 (A6C5)	C22*6	—	C22*6	—	—	1 2 3 4 5	1	C-22-1	6	C-22-6	1	Y-43	6	1M-15
									2	C-22-2	7	C-22-7	2	1M-5	7	1M-16
									3	C-22-3			3	1M-7		
									4	C-22-4			4	1M-8		
									5	C-22-5			5	1M-12		
		C23*6 (A6C6)	C23*6	—	C23*6	—	—	1 2 3 4 5	1	C-23-1	6	C-23-6	1	1M-21	6	1M-49
									2	C-23-2	7	C-23-7	2	1M-22	7	1N-17
									3	C-23-3			3	1M-23		
									4	C-23-4			4	1M-27		
									5	C-23-5			5	1M-30		
		211*8 (A6C1)	31*8	211*8	123*8	—	—	1 2 3 4 5	—				—			
									1	B3M02*5						
									2	B3M05*5						
									3	B3M09*5						
									4	B3M25*5						
		C24*6 (A6C2)	C24*6	—	C24*6	—	—	1 2 3 4 5	1	C-24-1	6	C-24-6	1	1N-18	6	1N-33
									2	C-24-2	7	C-24-7	2	1N-20	7	1N-35
									3	C-24-3			3	1N-23		
									4	C-24-4			4	1N-24		
									5	C-24-5			5	1N-31		

*1 感度校正用集合体用ダミーピンと同等

*2 B0J予備ピン

*3 B1J予備ピン

*4 FFDL試験用集合体用ダミーピン

*5 B3M用ピン

*6 CMIR-0と同等品(CMIR-2用)

*7 B0J予備用コンパートメント

*8 B2M予備用コンパートメント

*9 B3M予備用コンパートメント

Table II Fabrication Data of Fuel Pins

コンパートメント No (PIE)	ピン No		被覆管内径 (mm)	ペレット外径 (mm)	ペレット スタック長 (mm)	プレナム 有効容積 (cc)	ペレット-被覆管 ギャップ 幅 (μm)	タグガス キャプセルの 有, 無
	PIE	Fab						
A6C1	A601	B3M02	5.559	5.379	552.16	16.814	180	有
	A602	B3M05	5.557	5.373	552.64	16.810	184	有
	A603	B3M09	5.549	5.389	553.09	16.596	160	有
	A604	B3M25	5.553	5.418	550.51	12.291	135	有
	A605	B3M26	5.554	5.419	551.46	12.280	135	無
A6C4	A606	F2062						
	A607	B0J02	4.804	4.620	545.3	7.883	184	無
	A608	B0J04	4.794	4.620	548.1	7.727	174	無
	A609	B1J25	4.799	4.620	548.1	10.801	179	無
	A610	F1328						

Table III Subassembly Irradiation Conditions

集合体番号 PFB 031 (B 4 M)

サ イ ク ル		12'						
装 荷 位 置		1 A 1						
ピンタイプ(コンパートメント番号)			II型(5)	I型(2)				
燃 燃 度	ポイント最大	MWD/T	80.5	82.1				
	コンパートメント平均	MWD/T	69.9	71.4				
中性子照射量	En \geq 0.1 Mev.	ポイント最大	$\times 10^{20}$ n/cm ²	0.985	0.943			
		コンパートメント平均	$\times 10^{20}$ n/cm ²	0.821	0.786			
	Total	ポイント最大	$\times 10^{20}$ n/cm ²	1.453	1.391			
		コンパートメント平均	$\times 10^{20}$ n/cm ²	1.231	1.178			
線 出 力	B O C	ポイント最大	W/cm	379	323			
		コンパートメント平均	W/cm	326	279			
	E O C	ポイント最大	W/cm	379	323			
		コンパートメント平均	W/cm	326	279			
被覆管最高温度	B O C	°C	—					
	E O C	°C	—					
燃料最高温度	B O C	°C	—					
	E O C	°C	—					
集合体出口温度	B O C	°C	406					
	E O C	°C	406					
ピーキング係数	B O C	径 方 向	—					
		軸 方 向	—	1.166				
	E O C	径 方 向	—					
		軸 方 向	—	1.166				
冷 却 材 流 量	B O C	kg/sec	3.98					
	E O C	kg/sec	3.98					
備 考 径方向ピーキング係数は考慮していない。								

Table IV Pins Irradiation Conditions

Pin No		最高燃焼率 ($\times 10^{-3}$ atom %)	最大中性子照射量 ($\times 10^{20} \text{ n/cm}^2$ ($E \geq 0.1 \text{ MeV}$))	最高線出力 (W/cm)	最高被覆管温度 (肉厚中心) (°C)	最高燃料中心温度(°C)
PIE	Fab					
A 601	B 3 M 02	8.58	0.987	385.7	613	2156
A 602	B 3 M 05	8.51	0.979	382.5	612	2146
A 603	B 3 M 09	8.54	0.982	383.6	612	2149
A 604	B 3 M 25	8.59	0.988	386.0	613	2157
A 605	B 3 M 26	8.60	0.989	386.4	613	2159
A 607	B 0 J 02	8.57	0.933	309.1	542	1879
A 608	B 0 J 04	8.74	0.951	315.5	551	1914
A 609	B 1 J 25	8.68	0.945	313.4	551	1905

Table V Results of Core Fuel Stack Length Change

PIE No	Fab No	スタック長 PIE (mm)	スタック長 Fab (mm)	スタック長変化量 PIE-Fab (mm)	スタック長変化率 (PIE-Fab)/ Fab (mm)	ペレットロット No	被覆管-ペレット ギャップ(μm)
A 601	B 3 M 02	552.9 ± 0.5	552.2	0.7	0.13	TBM - 11	180
A 602	B 3 M 05	553.5 ± 0.5	552.6	0.9	0.16	" 11	184
A 603	B 3 M 09	553.1 ± 0.5	553.1	0	0	" 11	160
A 604	B 3 M 25	549.7 ± 0.5	550.5	- 0.8	- 0.15	" 12	135
A 605	B 3 M 26	550.7 ± 0.5	551.5	- 0.8	- 0.15	" 12	135
A 607	B 0 J 02	545.3 ± 0.5	545.3	0.2	0.04	TBJ - 003	184
A 608	B 0 J 04	548.3 ± 0.5	548.1	0.2	0.04	" - 003	174
A 609	B 1 J 25	548.4 ± 0.5	548.1	0.3	0.05	" - 003	179

Table VI Results of Pin Weighing

PIE No.	Fab No.	重 量 (g)		
		PIE	Fab	PIE-Fab
A 601	B 3 M 02	349.1	349.3	- 0.2
A 602	B 3 M 05	349.3	349.5	- 0.2
A 603	B 3 M 09	351.1	351.1	0.0
A 604	B 3 M 25	384.6	384.7	- 0.1
A 605	B 3 M 26	382.8	382.9	- 0.1
A 607	B 0 J 02	248.1	248.2	- 0.1
A 608	B 0 J 04	248.5	248.7	- 0.2
A 609	B 1 J 25	225.4	225.4	0.0

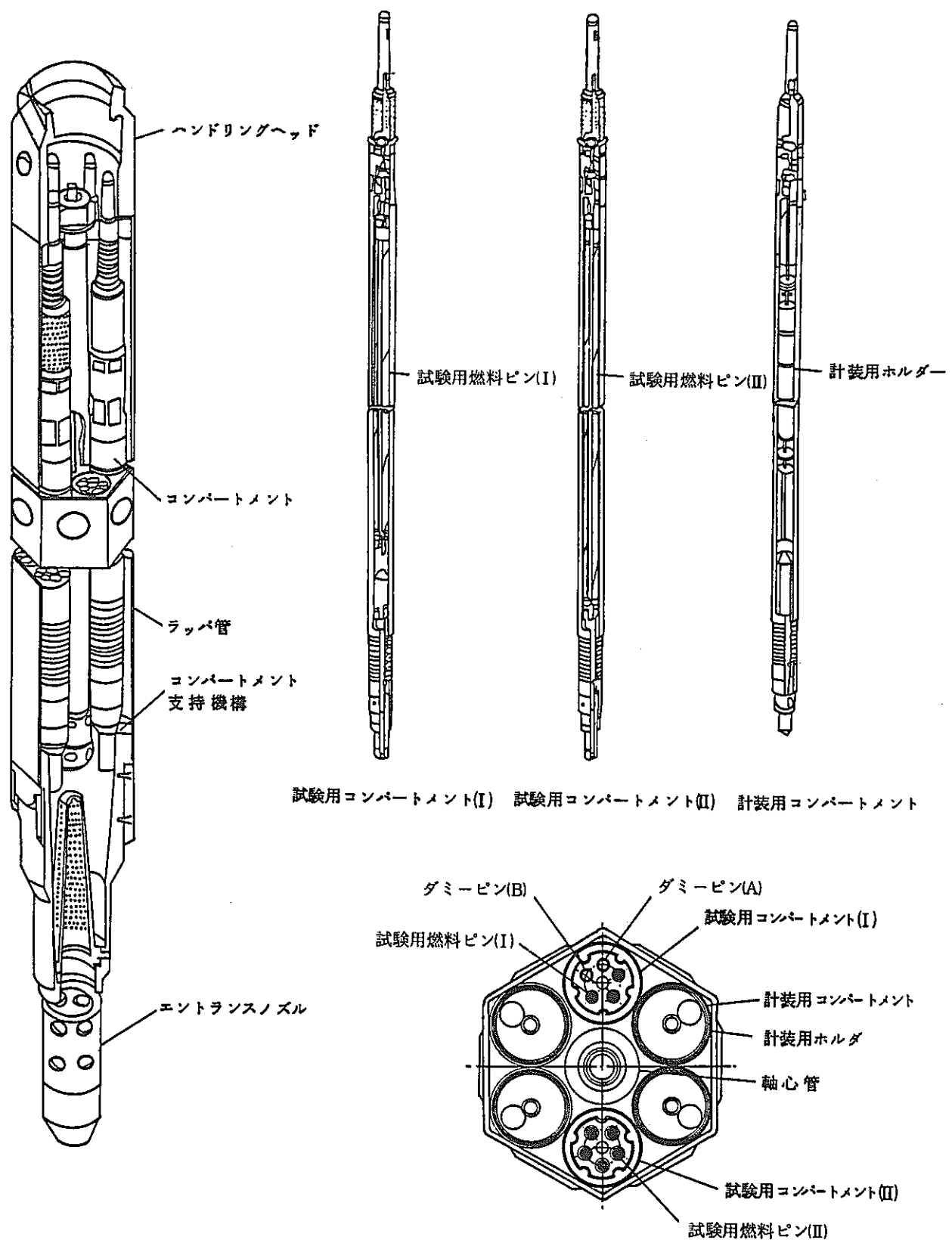
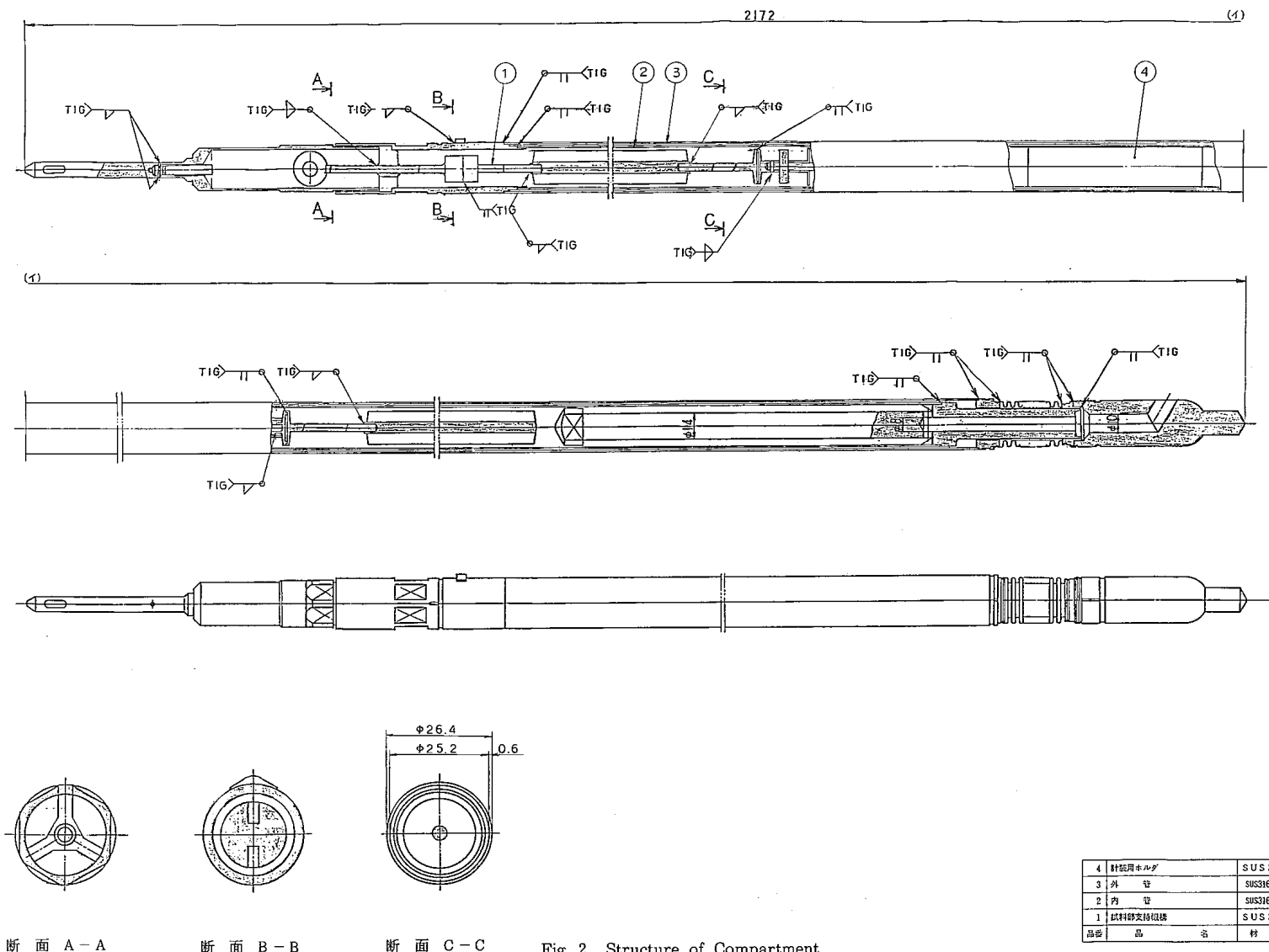
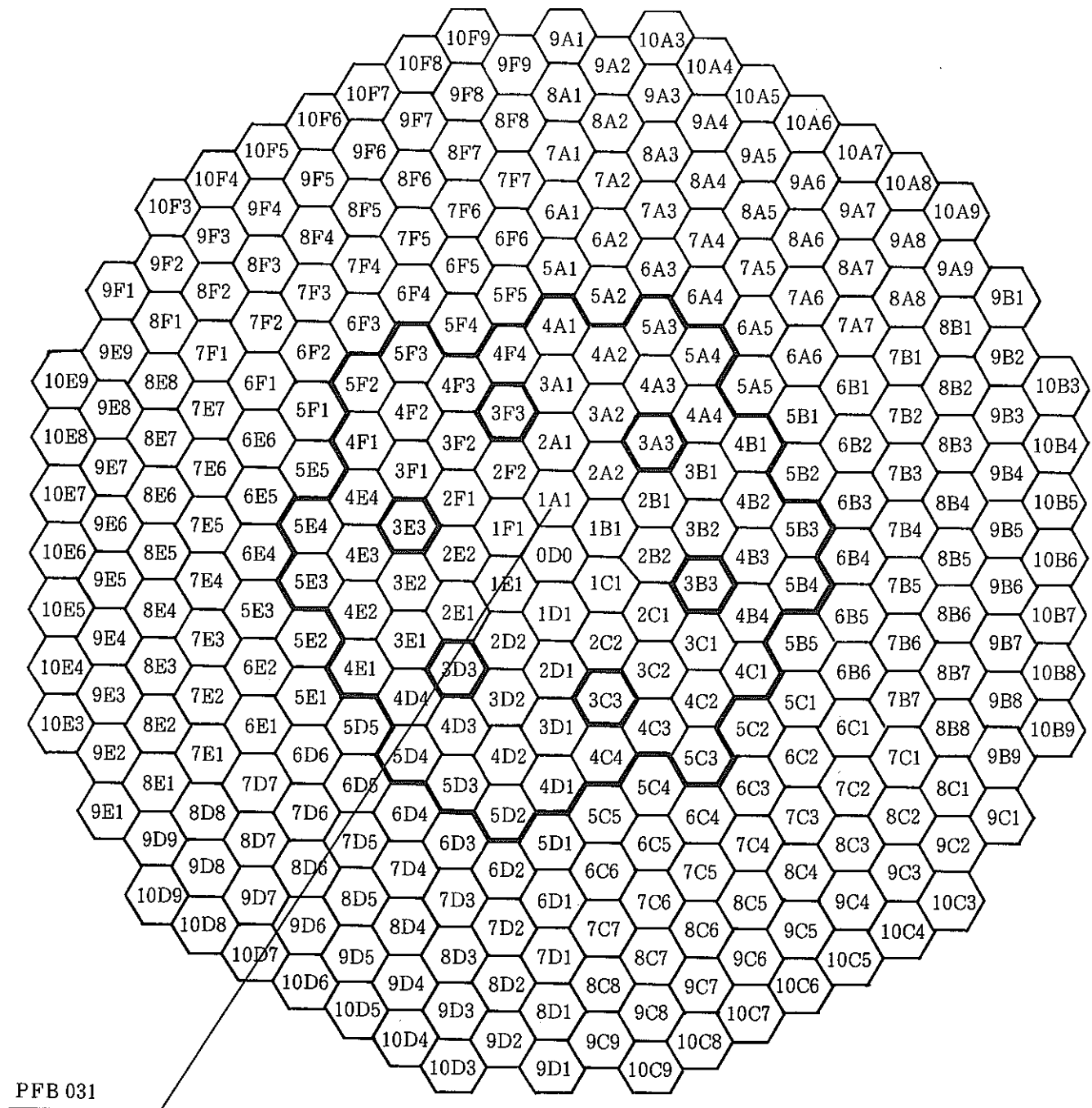


Fig. 1 Schematic Drawings of the Subassembly and its Compartment (PFB 031)





第 12' サイクル (MPR 照射試験) 炉心構成

Fig. 3 In-Reactor Location of the Subassembly

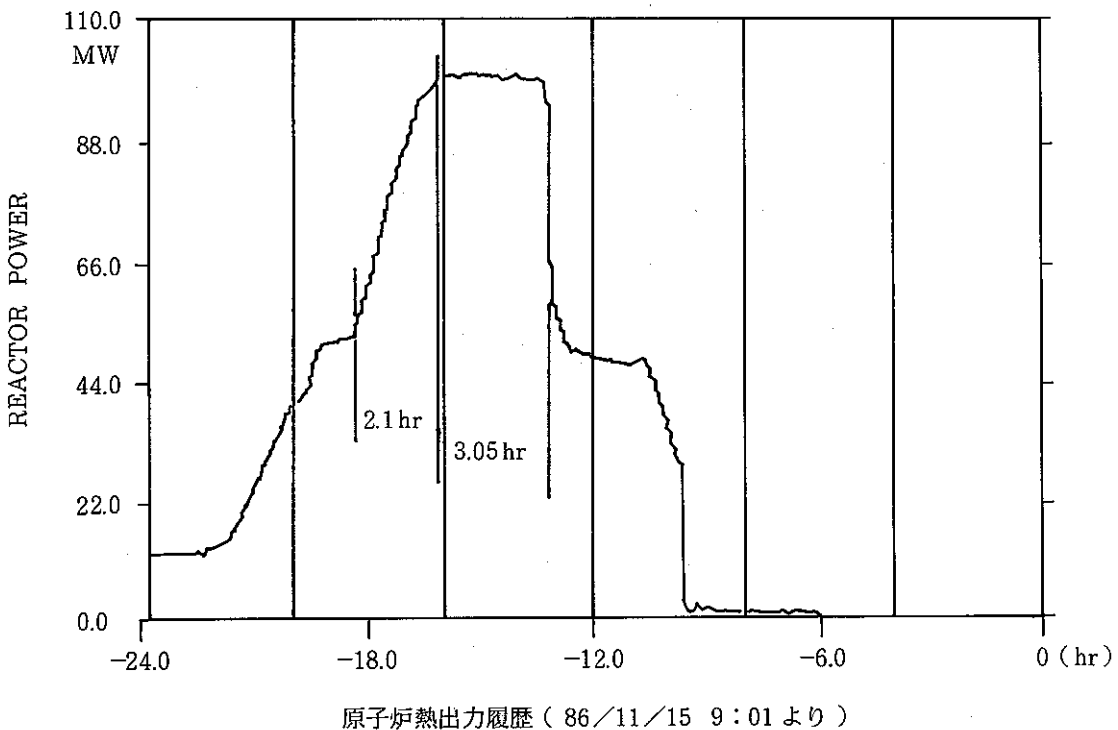


Fig. 4 History of Reactor Power

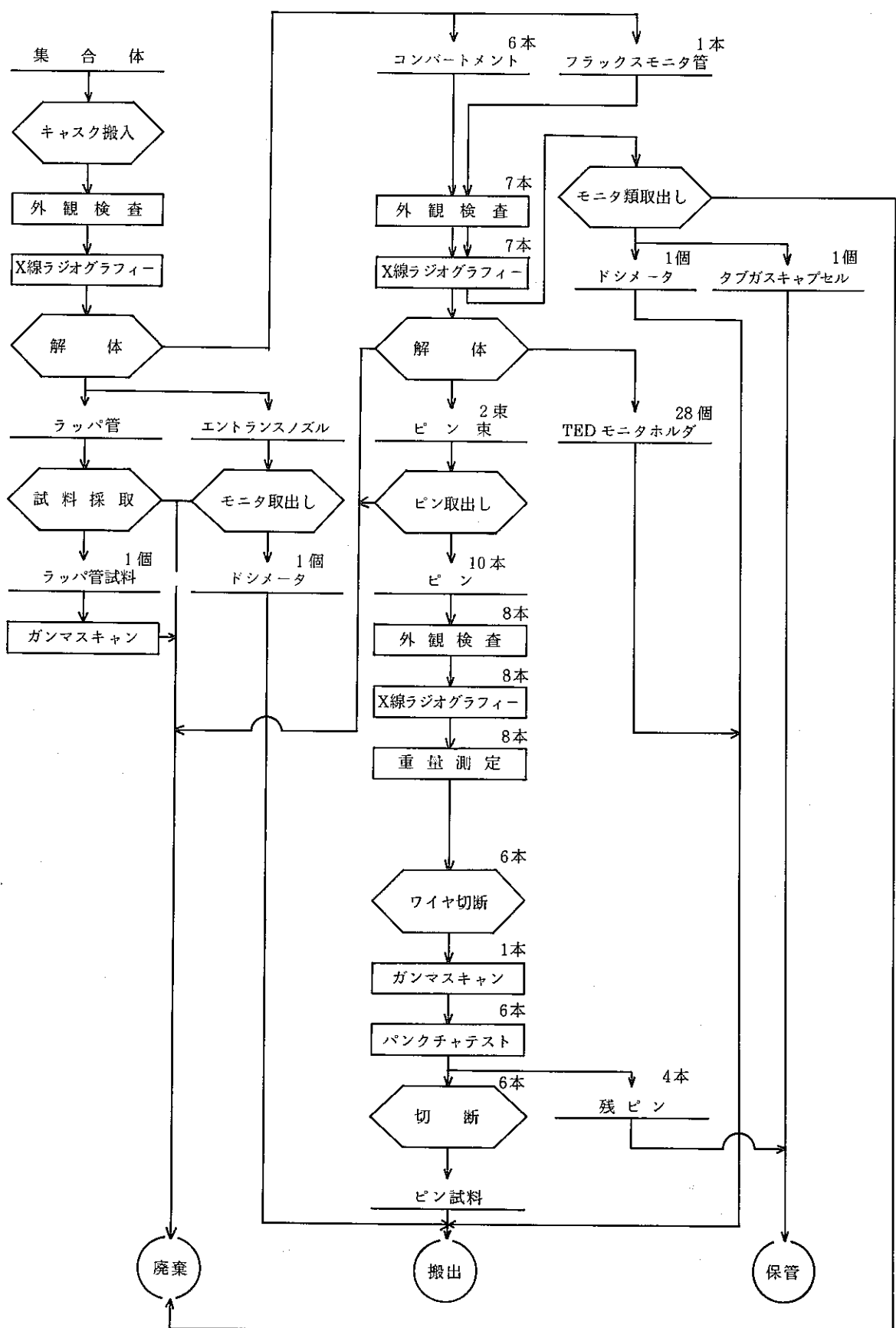


Fig. 5 Flow Diagram of Postirradiation Examination of the Subassembly (PFB 031)

JOYO MK-II 照射後試験計画 (ピン試験)		集 合 体 試 験	集 合 体 部 材 試 験
B型特殊燃料集合体 PFB031 (A6) (II型)		装荷位置(1A1)	
1. コンパートメント外観検査	1. ピン外観検査 X線ラジオグラフィ、重量測定	5. 詳細外観検査(ワイヤ付)	9. ピンパンクチャ(ガス抜)
2. コンパートメント寸法測定	2. ワイヤ切断	6. 詳細外観検査(ワイヤ無)	10. ピンパンクチャ(ガス圧+ガス分析)
3. コンパートメント X線ラジオグラフィ	3. 寸法測定(曲がり)	7. ガンマスキャン(トモグラフィー)	11. ピン切断(AGS)
4. コンパートメント 内管の切出し及び外観	4. 寸法測定(外径)	8. ガンマスキャン(スキャン+スペクトル)	12. ピン切断(AES)
← : 推定炉心方向を示す			
● : 試験対象			

Fig. 6 Pins Selected for the Examination

S/A NO. (FAB) : PFB031 ANGLE OF MAX RATE (DEG) : 45.62
 S/A NO. (PIE) : A6WH2 MAX COUNT RATE (CPS) : 4.68
 AXIAL POS. (MM) : 1391.5 AVERAGE COUNT RATE(CPS) : 4.37
(from E/N Bottom)
 COOLING TM (DAYS) : 100 PEAKING FACTER : 1.070
 COLL. WIDTH(MM) : 1.40
 OP NO. : 6048-6048

CORRECTED

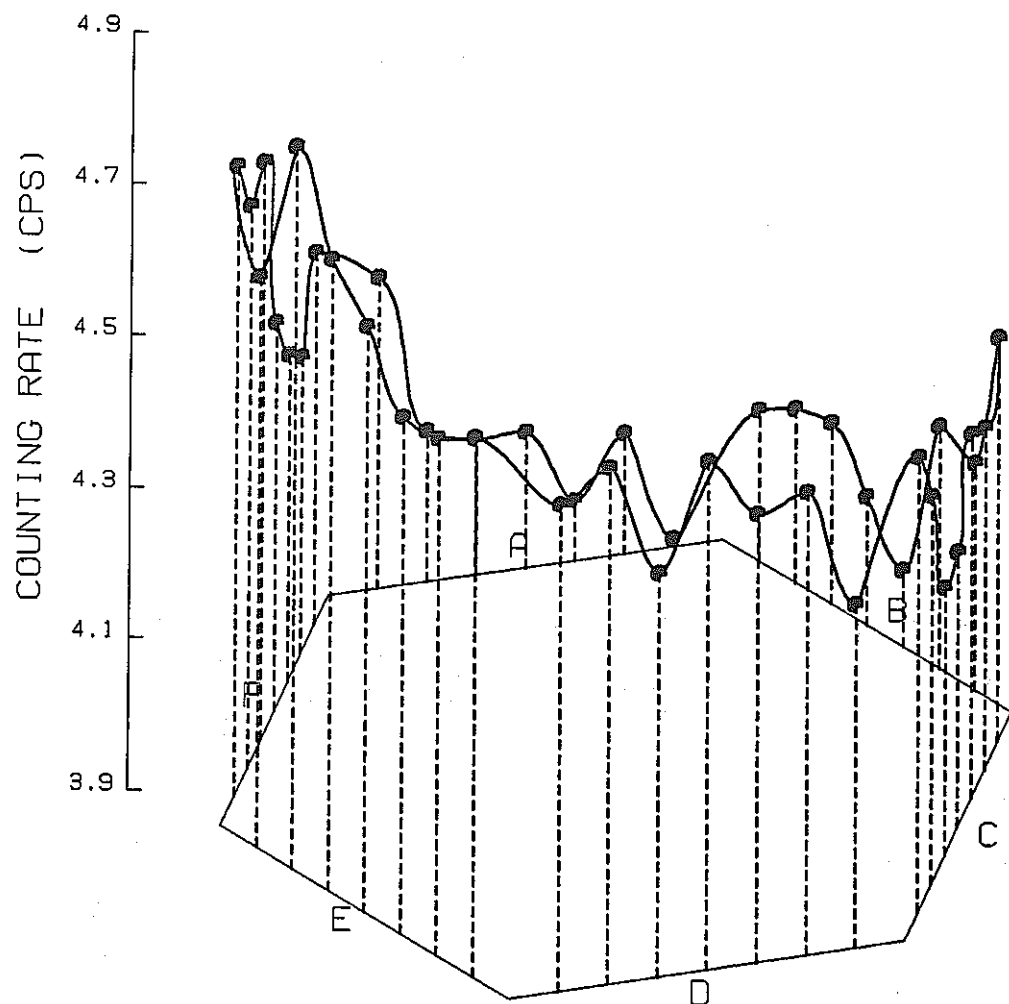


Fig. 7 Radial Distribution of Gamma Ray Intensity
 $(^{58}\text{Co}, 0.811 \text{ MeV})$

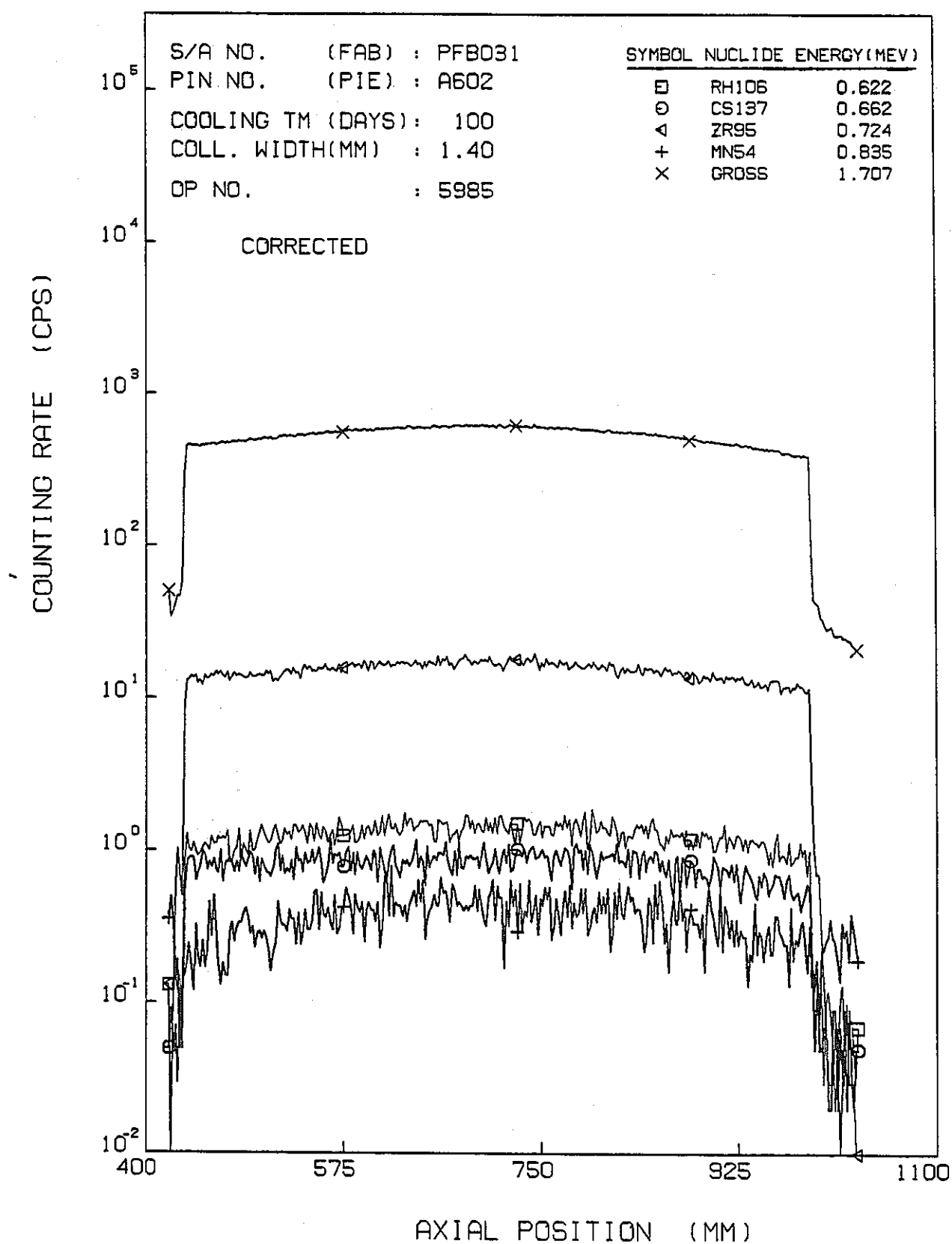


Fig. 8 Axial Distribution of Gamma Ray Intensity (Pin No A 602)

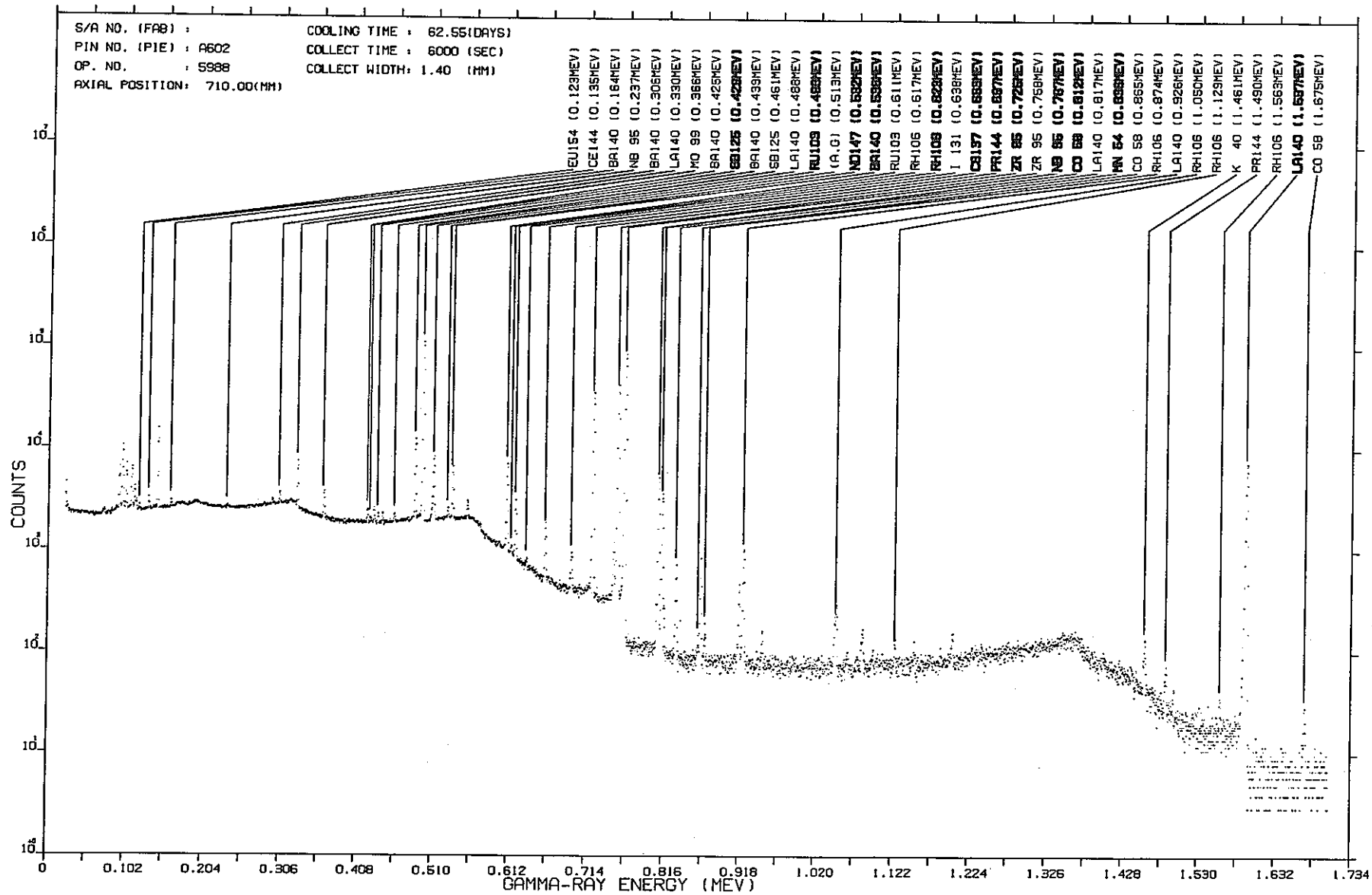


Fig. 9 Gamma - Ray Spectroscopy

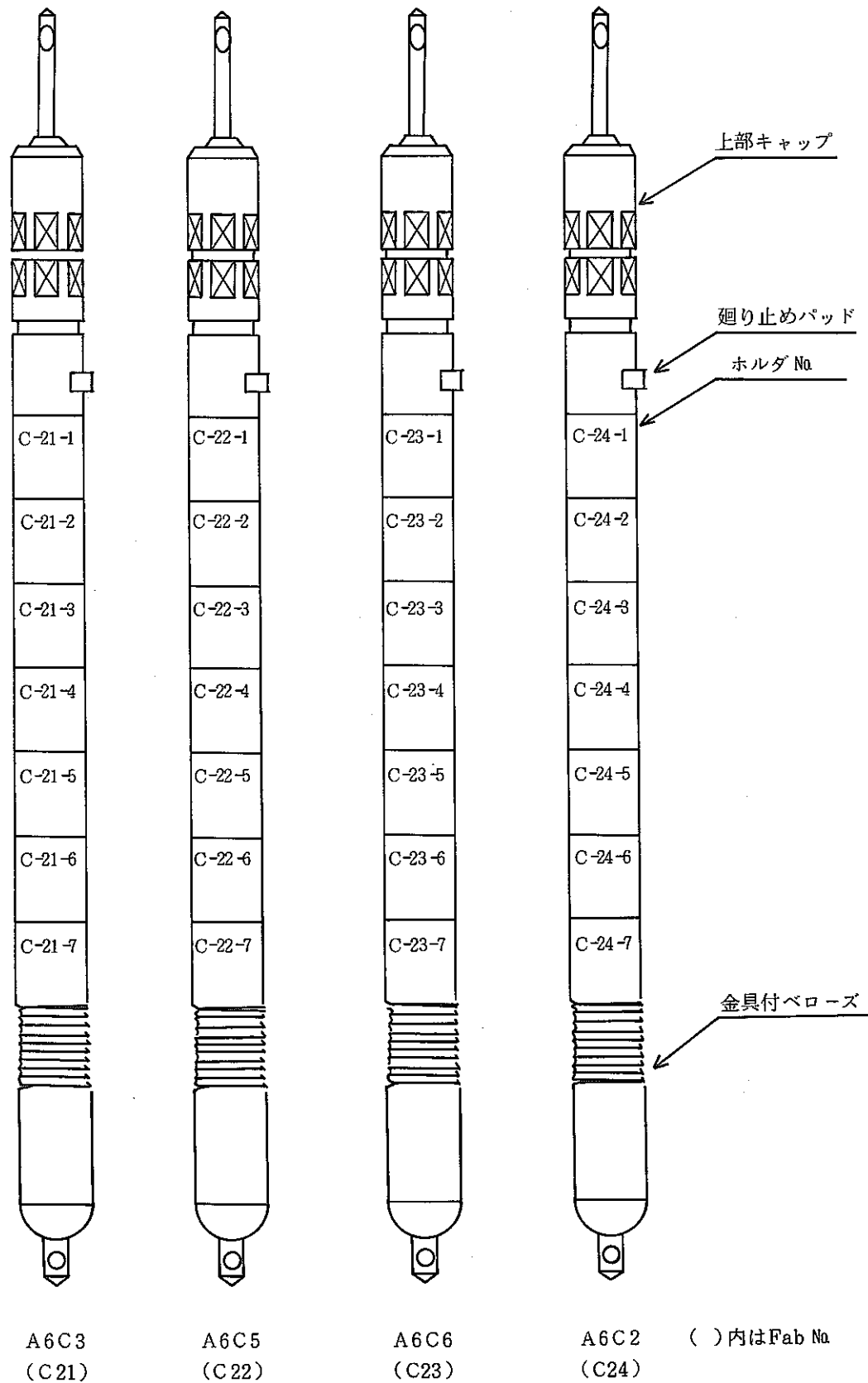


Fig. 10 Specimen Holders in Compartments

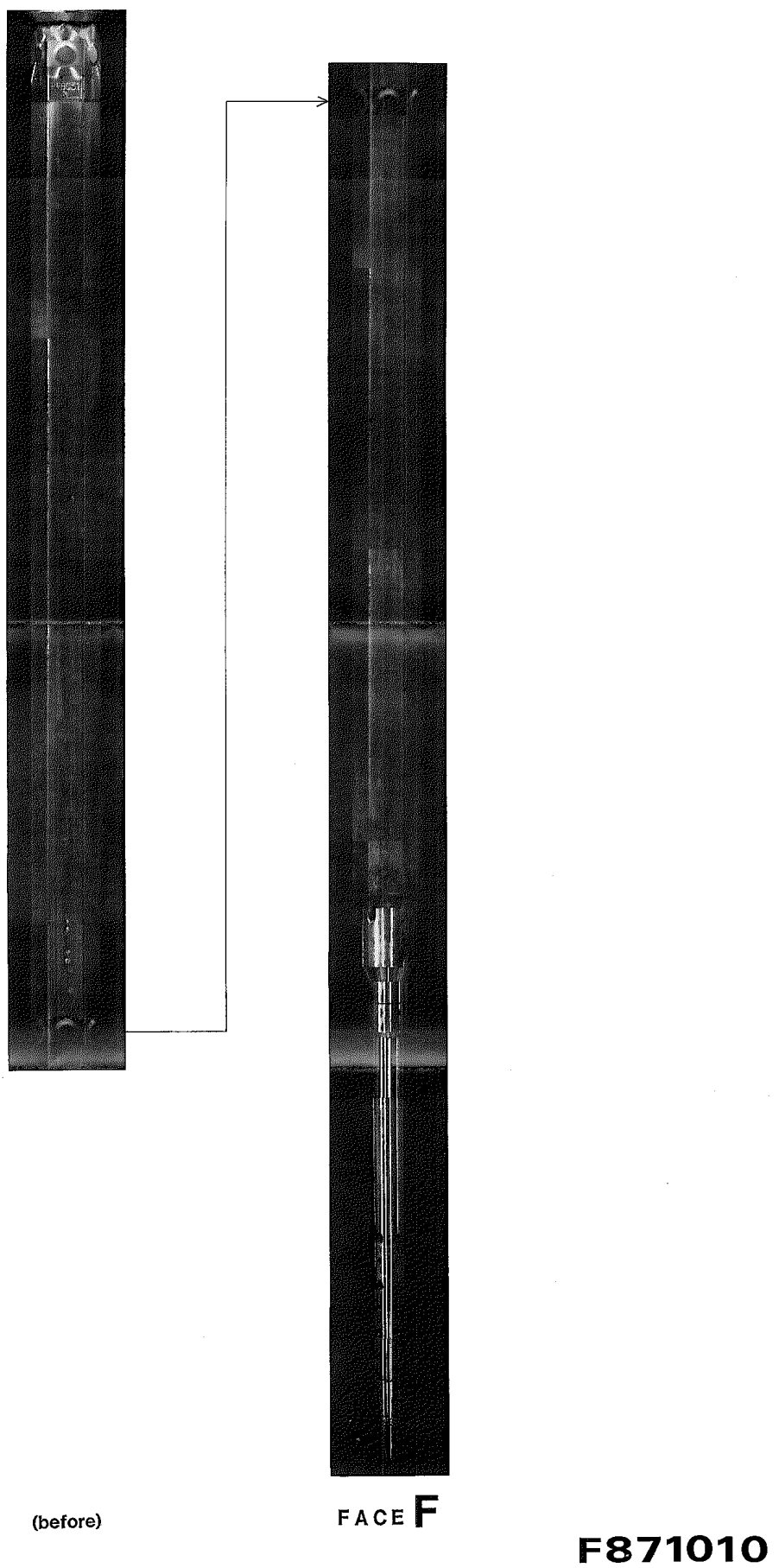
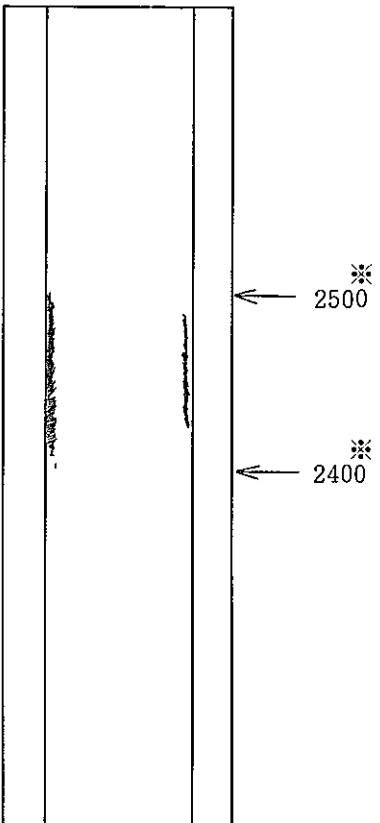
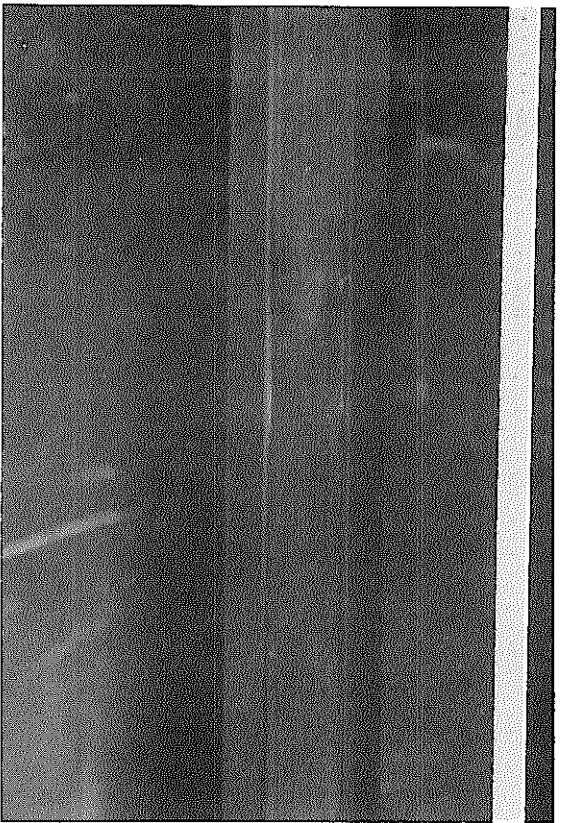
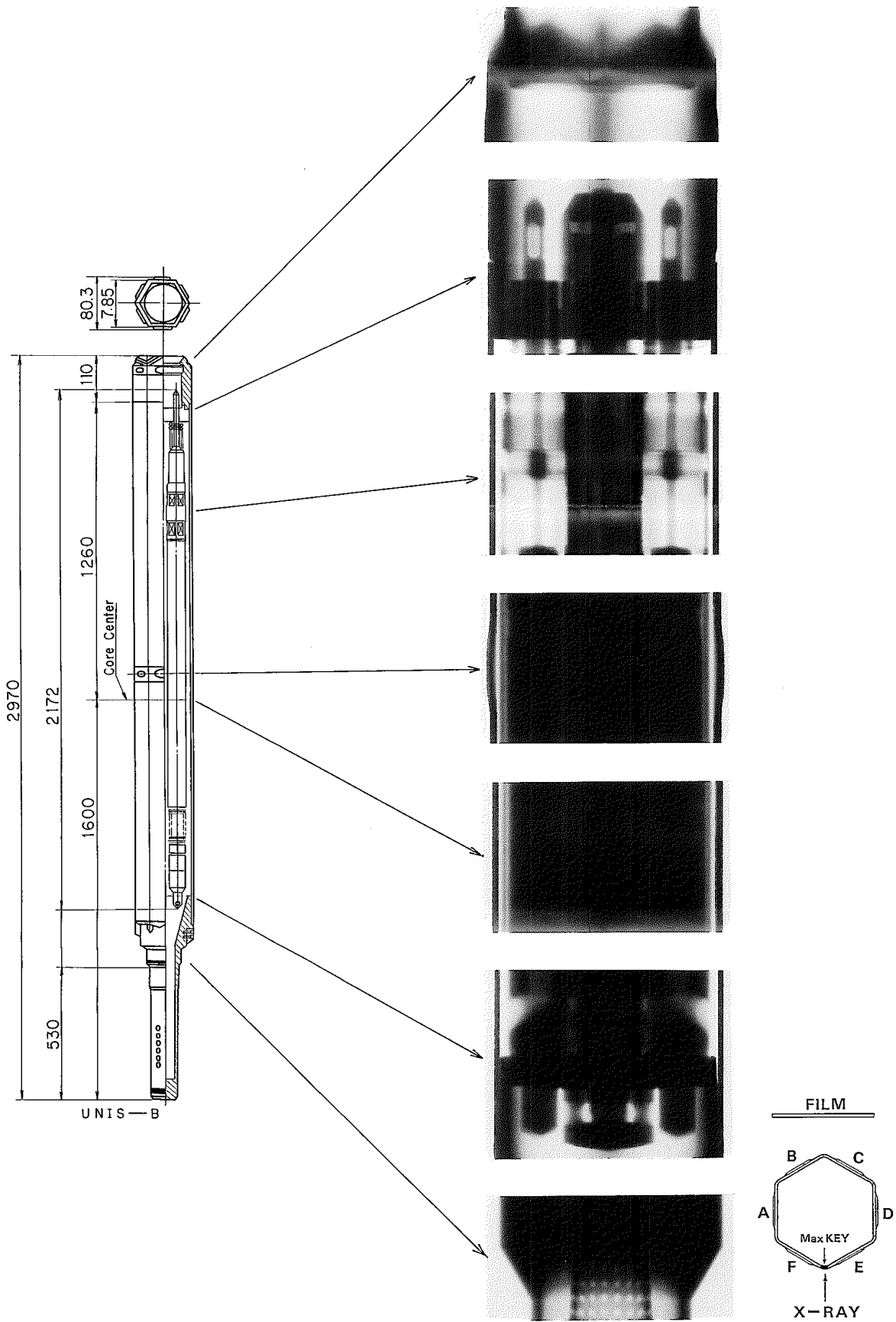


Photo. 1 Surface Condition of the Subassembly



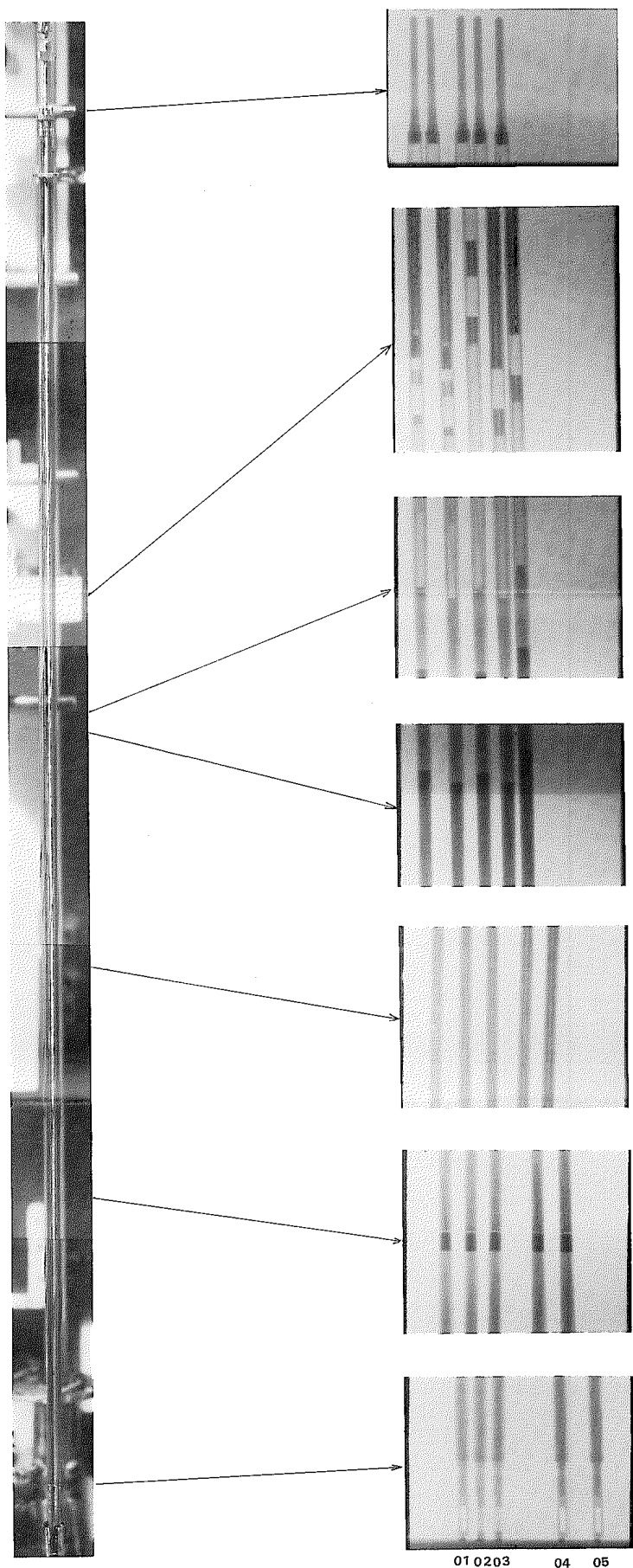
※ S/A 下端からの位置

Photo. 2 Surface Condition of the Wrapper Tube



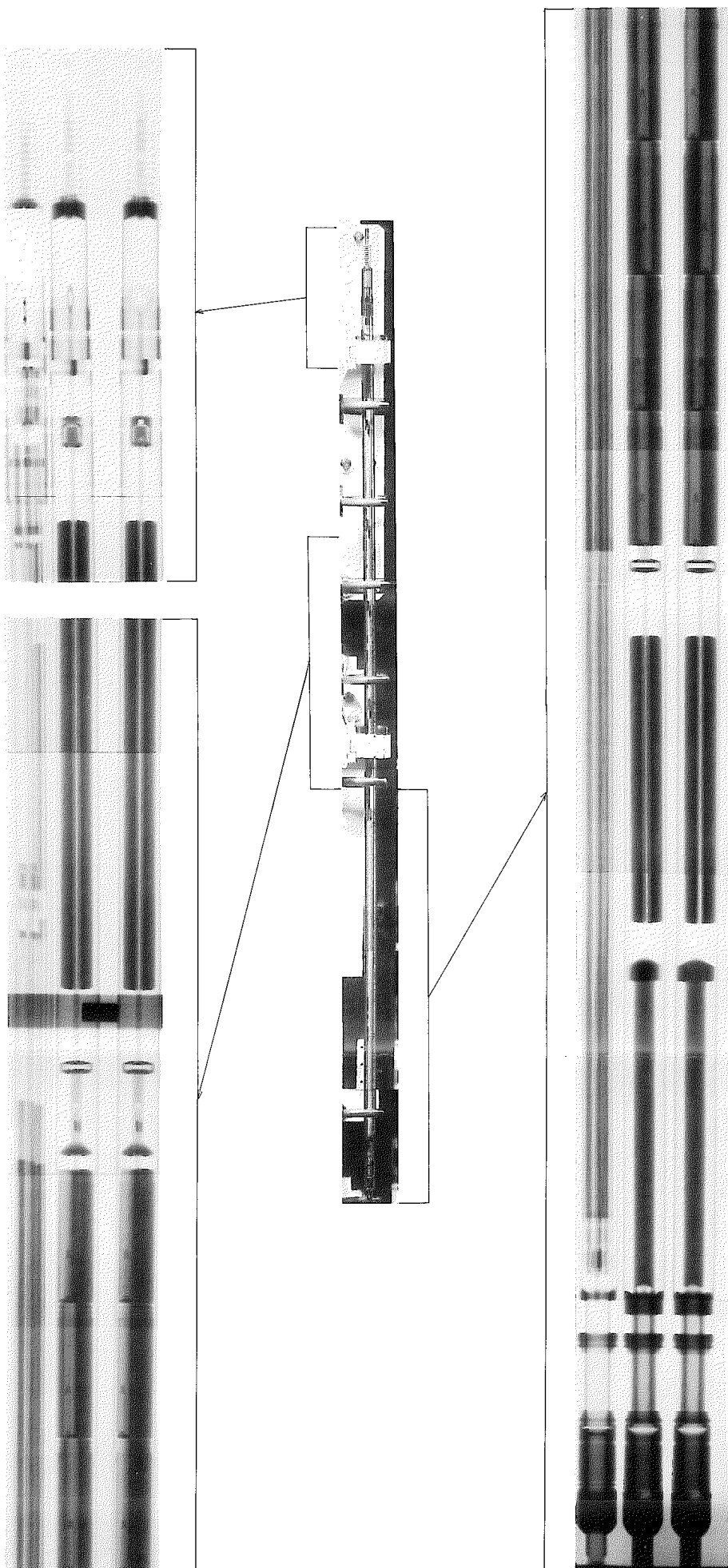
F872007

Photo. 3 X - ray Radiography of the Subassembly



F884002

Photo. 4 Condition of the Outer Surface of the Compartment and Installation Condition of the Contents in Compartment



F884003

Photo. 5 Installation Condition of the Fuel Pin Bundle and
the Content of Fuel Pins in Compartment

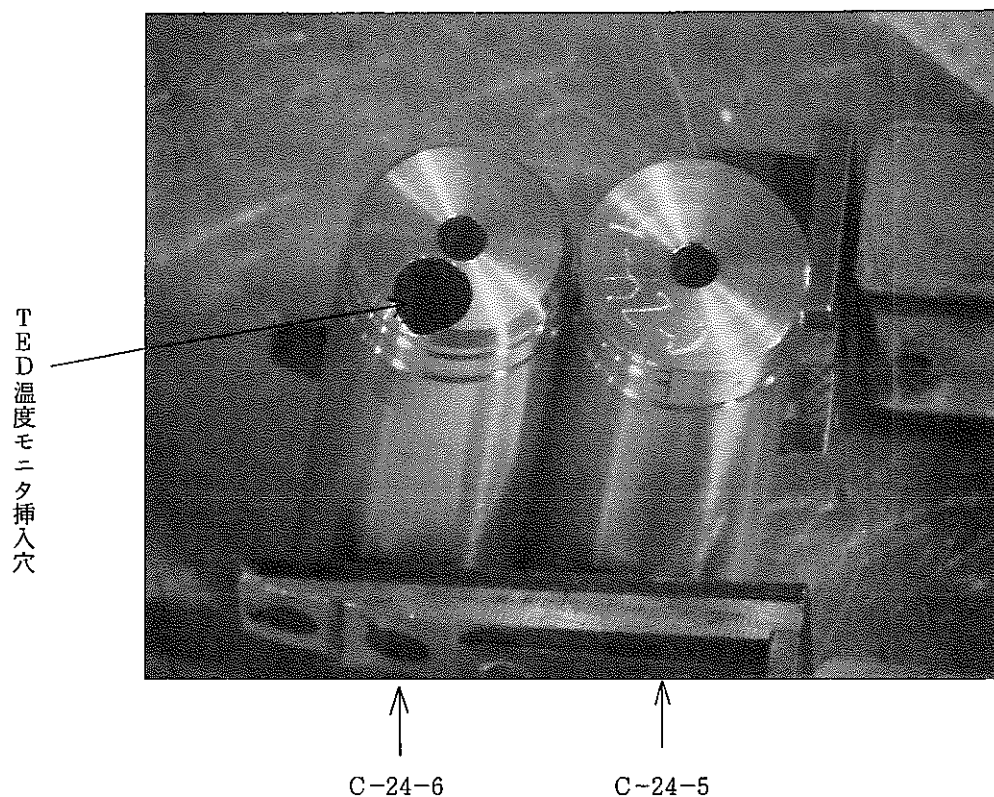


Photo. 6 Specimen Holder without Cap and one with Cap